

Datenblatt - vorläufig

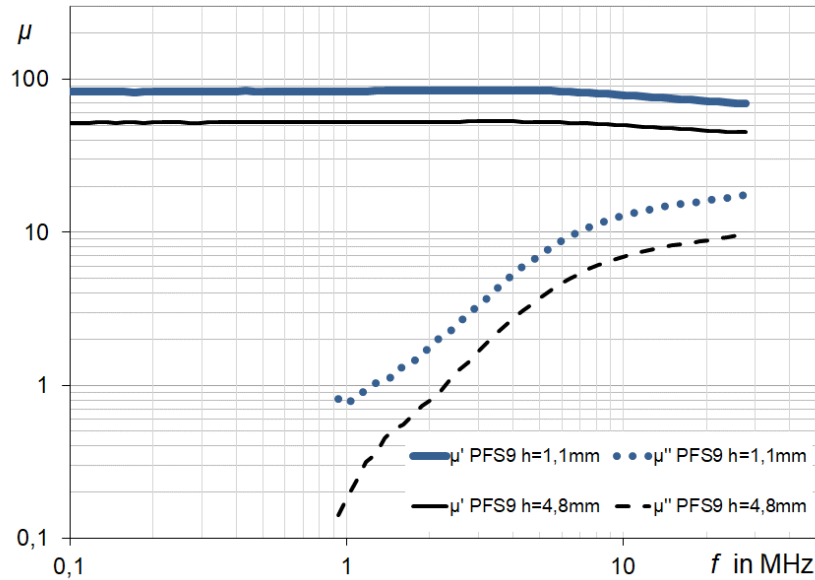
PFS9

Werkstoffdaten – vorläufige Daten
Material data – preliminary data

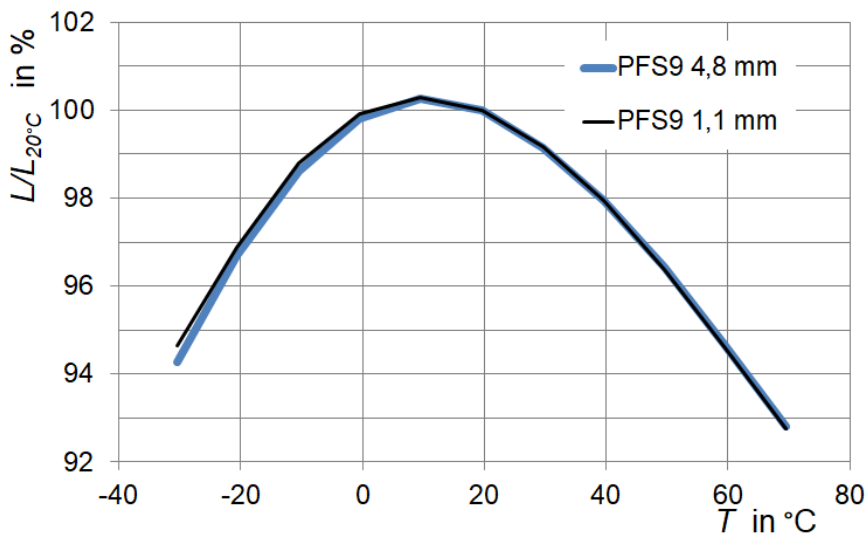
Komposit-Material			PFS9	
μ_i und $\tan \delta / \mu_i$ sind abhängig von der Materialstärke h <i>μ_i and $\tan \delta / \mu_i$ are depending on material thickness h</i>			$h^a = 1,1$ mm	$h^b = 4,8$ mm
Anfangspermeabilität <i>initial permeability</i>	μ_i	+/- 25%	80	50
Bezogener Verlustfaktor <i>relative loss factor</i>	$\tan \delta / \mu_i$	10^{-6}	480	500
bei der Frequenz <i>frequency</i>	f	MHz		2
Dichte <i>density</i>	ρ	g/cm ³		3,9
Spezifischer Widerstand <i>resistivity</i>	ρ	Ω m		$\geq 10^6$
Gebrauchstemperatur max. <i>Maximum service temperature</i>		°C		125

Gemessen an Ring-Kern:
*Measured at ring core***a:** \varnothing 28-22 x h1,1 mm**b:** \varnothing 28-22 x h4,8 mmWeitere technische Daten des Materials auf Anfrage verfügbar.
Additional material data available upon request.

Werkstoffdaten – vorläufige Daten PFS9
Material data – preliminary data



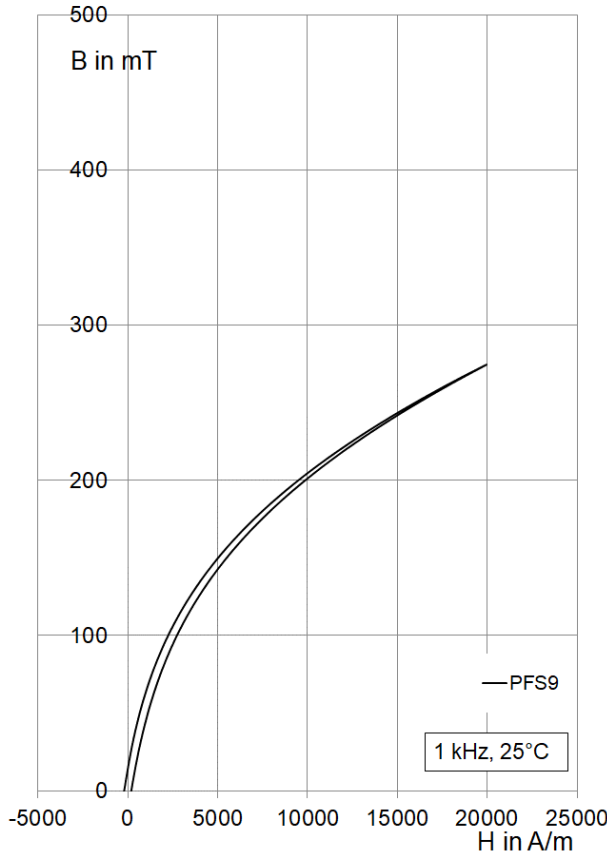
Komplexe Permeabilität in
Abhängigkeit von der Frequenz
*Complex permeability versus
frequency*



Induktivität eines Ringkernes in
Abhängigkeit von der Temperatur
*Inductivity of a ring core versus
temperature*

Alle Angaben ohne Gewähr. Irrtümer und Änderungen vorbehalten. No responsibility is taken for the correctness. Errors and changings reserved.

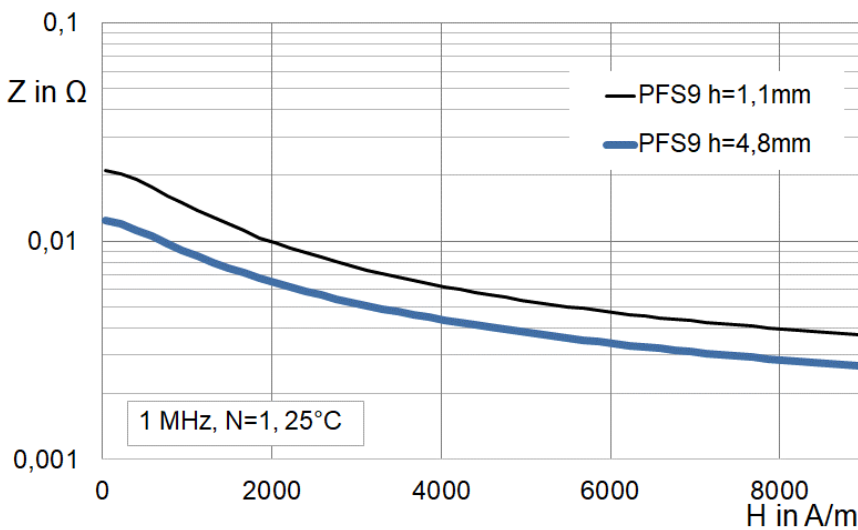
Werkstoffdaten – vorläufige Daten PFS9
Material data – preliminary data



Dynamische Magnetisierungskurven nahe der Sättigung (Richtwerte) (h= 4,8 mm)

Dynamic magnetisation curves close to saturation (typical values) (h= 4,8 mm)

Alle Angaben ohne Gewähr. Irrtümer und Änderungen vorbehalten. No responsibility is taken for the correctness. Errors and changings reserved.



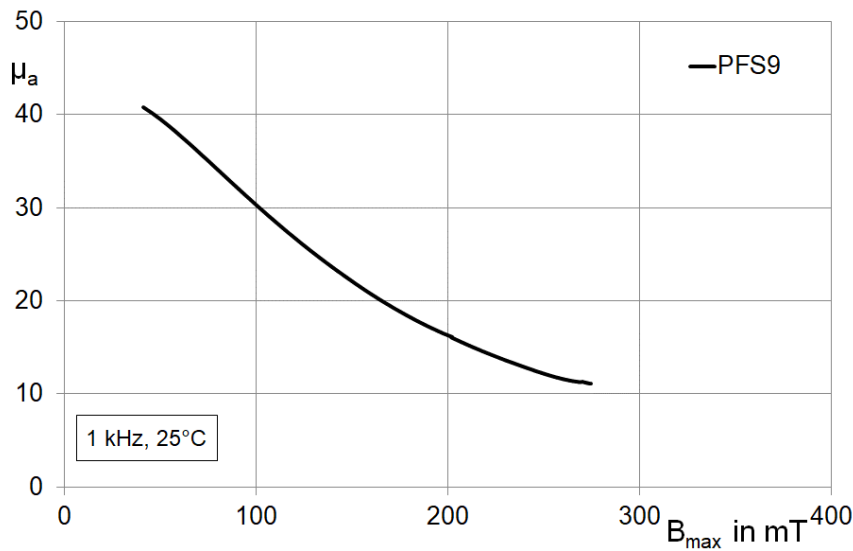
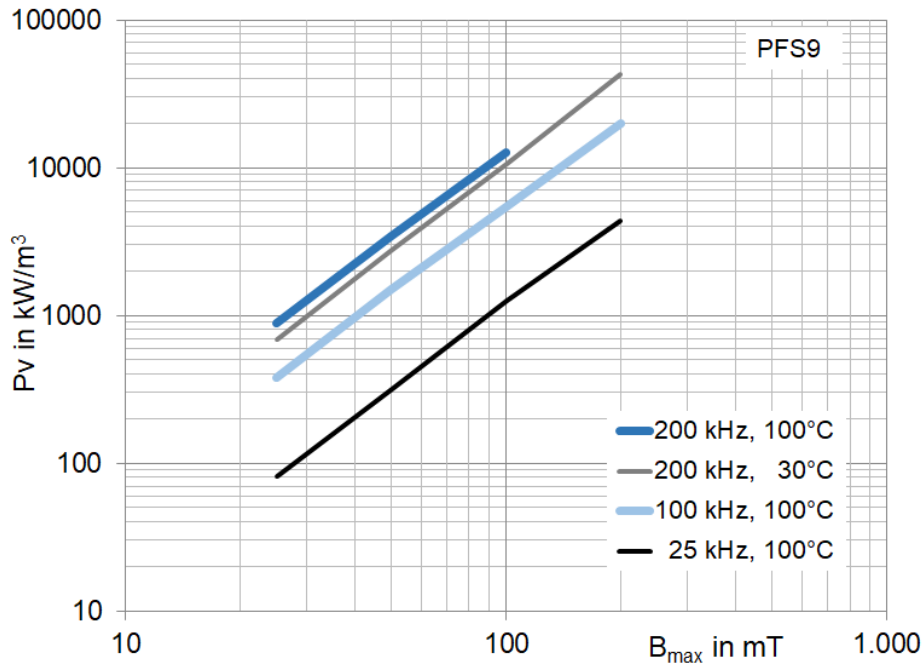
Komplexer Scheinwiderstand Z bei Ringhöhe 1,1 mm bzw. 4,8 mm mit 1 Windung in Abhängigkeit von der magnetischen Feldstärke H (DC-Bias) (da= 28 mm, di= 22 mm)

Complex Impedance Z of a ring core with height h=1,1 mm and h= 4,8 mm respectively with 1 winding versus magnetic field strength H (DC-Bias) (da= 28 mm, di= 22 mm)

$$Z = R + j\omega L$$

Werkstoffdaten – vorläufige Daten PFS9

Material data – preliminary data



Alle Angaben ohne Gewähr. Irrtümer und Änderungen vorbehalten. No responsibility is taken for the correctness. Errors and changings reserved.

Sicherheitshinweise

Das in diesem Datenblatt beschriebene Produkt ist ein Komposit-Material aus Metallpulver und Polymer. Die Einzelbestandteile werden auf Anfrage mitgeteilt.

Der Firma Neosid sind zum Zeitpunkt dieser Mitteilung keine von diesen Artikeln ausgehenden, Gesundheits- und/oder Umweltgefährdungen bekannt.

Der Kontakt mit starken Säuren und starken Laugen mit dem beschriebenen Produkt soll vermieden werden. Im Falle eines Brandes können giftige Dämpfe freigesetzt werden.

Die in Ihrem Land jeweils geltenden gesetzlich vorgeschriebenen Arbeits- und Umweltschutzmaßnahmen sind während der Lagerung, Nutzung, Weiterverarbeitung und Entsorgung unabdingbar einzuhalten.

Safety instructions

The product described in this data sheet is a material composed of metal powder and polymer. The chemical composition will be disclosed on request.

To our present knowledge this product does not cause a risk to human beings and/or the environment.

Avoid contact with strong acids and strong bases. Under fire conditions toxic fumes may emit.

Follow your local safety and environmental laws and regulations during storage, use, further processing and disposal of this product.

Formelzeichen	Bezeichnung der Größe	Einheit
<i>symbol</i>	<i>description of parameter</i>	<i>unit</i>
ρ	Spezifischer Widerstand <i>resistivity</i>	Ωm
f	Frequenz <i>frequency</i>	$\text{s}^{-1} =$ Hz
f_{max}	maximale Einsatzfrequenz <i>maximum application frequency</i>	Hz
T	Temperatur <i>temperature</i>	$^{\circ}\text{C}$
T_{C}	Curietemperatur Curie temperature	$^{\circ}\text{C}$
α_{F}	Temperaturfaktor <i>temperature factor</i>	10^{-6} K^{-1}
H	Magnetische Feldstärke <i>magnetic field strength</i>	A m^{-1}
B	Magnetische Flussdichte <i>magnetic flux density</i>	T
B_{s}	Magnetische Flussdichte (Induktion) nahe Sättigung <i>saturation flux density</i>	T
η_{B}	Hysteresestoffkonstante <i>hysteresis material constant</i>	10^{-6} mT^{-1}
L	Induktivität <i>inductance</i>	H
R_{s}	Oberflächenwiderstand <i>surface resistivity</i>	Ω

Formelzeichen	Bezeichnung der Größe	Einheit
<i>symbol</i>	<i>description of parameter</i>	<i>unit</i>
μ_0	Magnetische Feldkonstante <i>magnetic constant</i>	$=4 \pi 10^{-7}$ H m^{-1}
μ_{r}	relative Permeabilität <i>relative permeability</i>	1
μ_{a}	Amplitudenpermeabilität <i>amplitude permeability</i>	1
μ_{i}	Anfangspermeabilität <i>initial permeability</i>	1
μ'	Realteil der komplexen Permeabilität <i>real part of complex permeability</i>	1
μ''	Imaginärteil der komplexen Permeabilität <i>imaginary part of complex permeability</i>	1
$\tan \delta$	Verlustfaktor <i>loss factor</i>	1
$\tan \delta / \mu_{\text{i}}$	bezogener Verlustfaktor <i>relative loss factor</i>	1
d	Desakkommodation <i>disaccommodation</i>	1
D_{F}	Desakkommodationsfaktor <i>disaccommodation factor</i>	1
Z	Impedanz <i>impedance</i>	Ω

Alle Angaben ohne Gewähr. Irrtümer und Änderungen vorbehalten. No responsibility is taken for the correctness. Errors and changings reserved.